

Abb. 1: Mittlere monatliche Tagesgänge der kurzwelligen Strahlungsströme unter und über dem Fichtenbestand F1 im Solling.

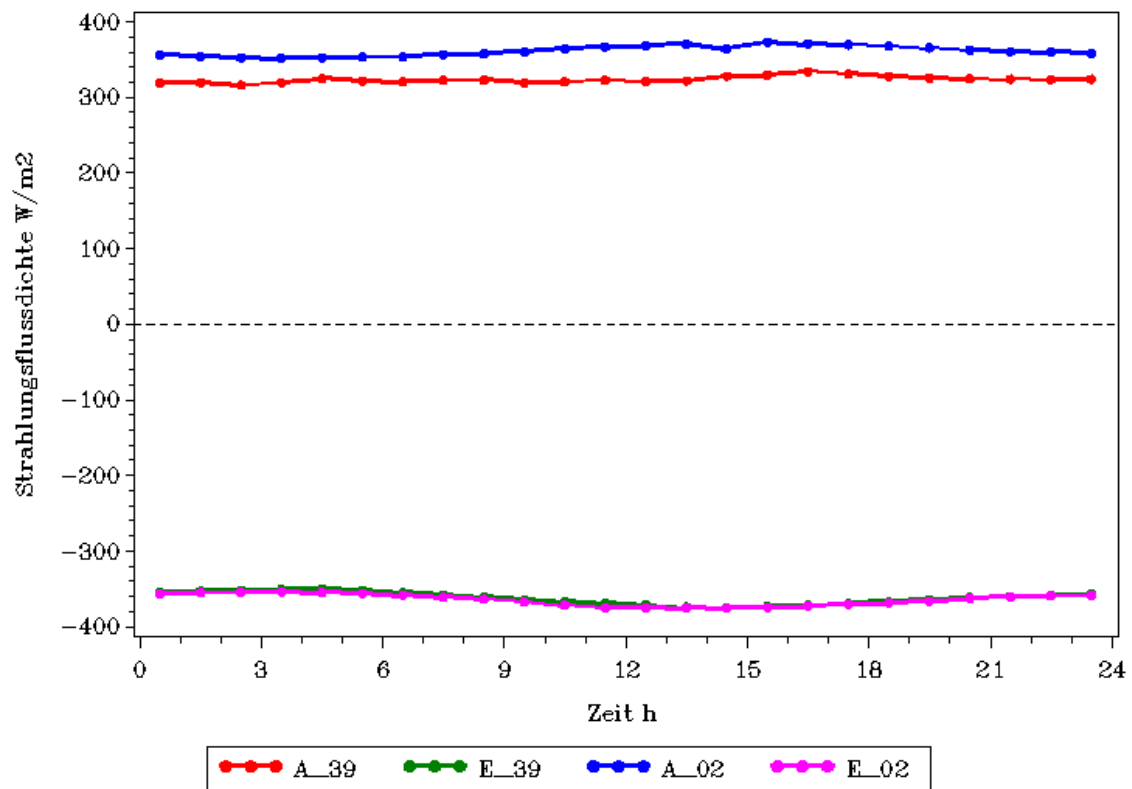


Abb. 2: Mittlere monatliche Tagesgänge der langwelligen Strahlungsströme unter und über dem Fichtenbestand F1 im Solling.

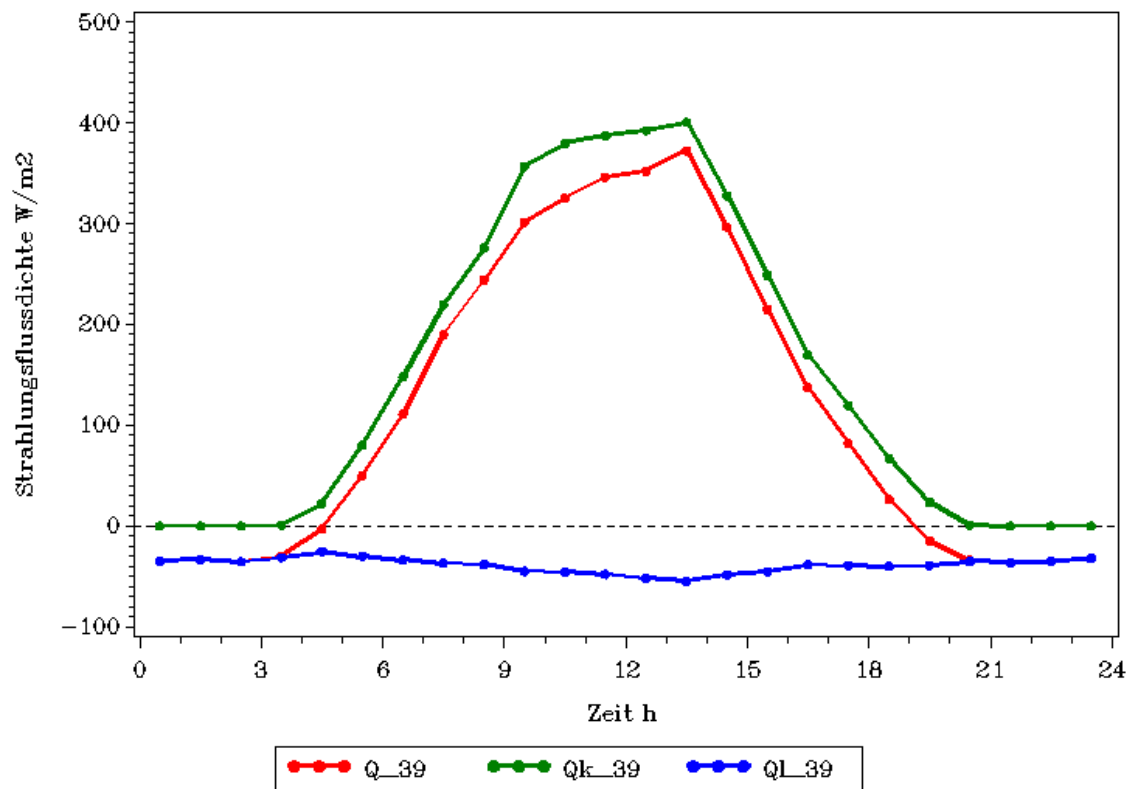


Abb. 3: Mittlere monatliche Tagesgänge der Strahlungsbilanzen,  $Q$  gesamt,  $Q_k$  kurzwellig und  $Q_L$  langwellig, über dem Fichtenbestand F1 im Solling.

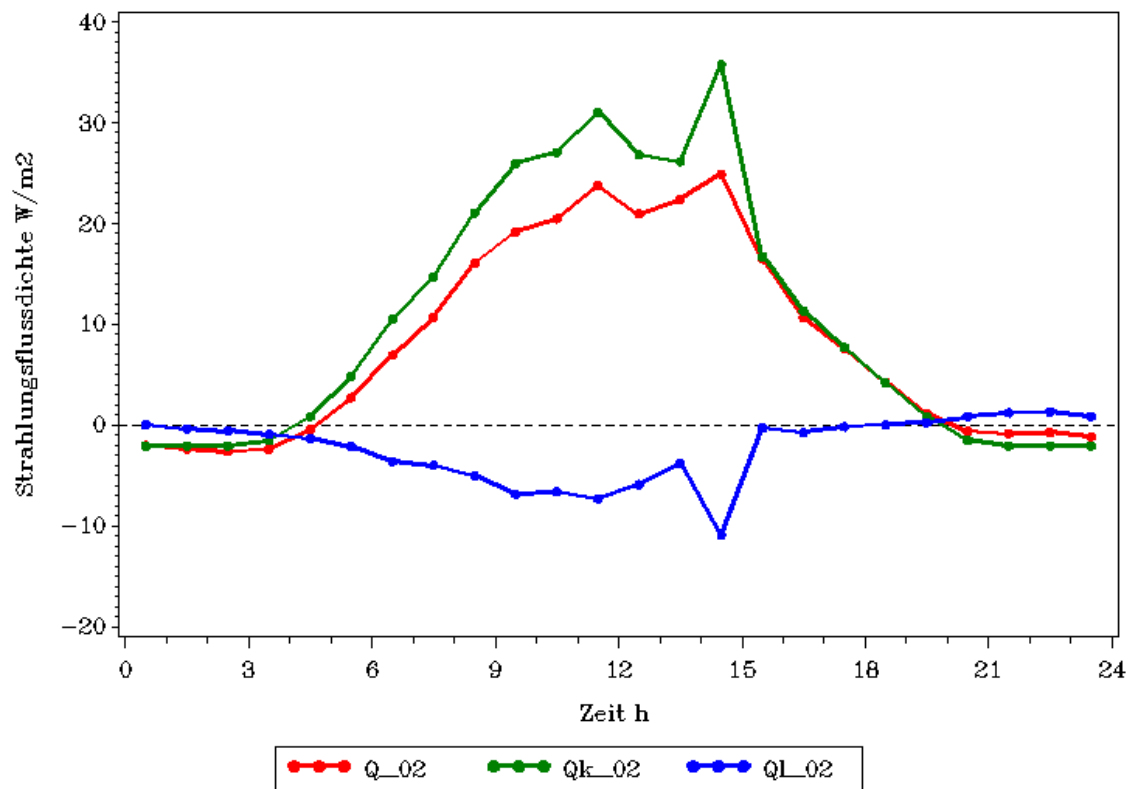


Abb. 4: Mittlere monatliche Tagesgänge der Strahlungsbilanzen , Q gesamt, Qk kurzwellig und QL langwellig, unter dem Fichtenbestand F1 im Solling.

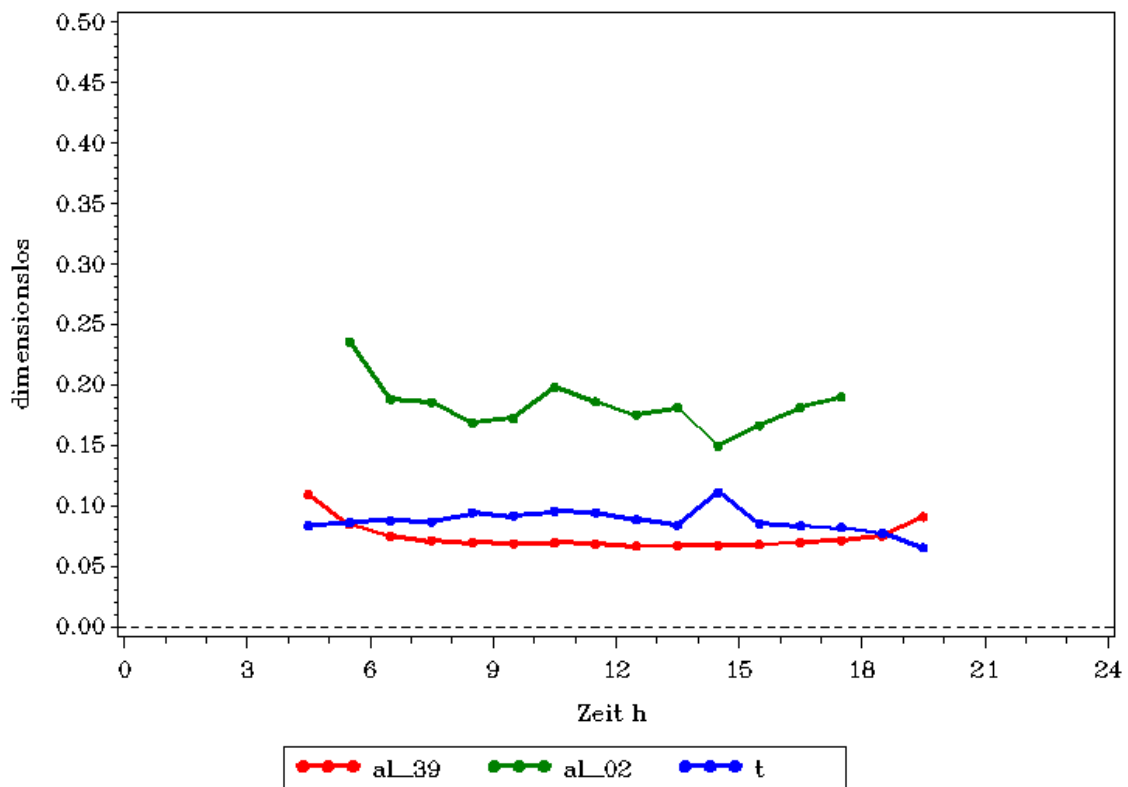


Abb. 5: Mittlere monatliche Tagesgänge der optischen Eigenschaften, Albedo (al\_39 und al\_02) und Transmissionskoeffizient (t) des Fichtenbestandes F1 im Solling.

Tabelle 1: Univariate statistische Momente der Strahlungsgrößen des Fichtenbestandes F1 im Solling für den Juni 1991 (Einheit: W/m<sup>2</sup>).

Variable	Minimum	Mean	Maximum
G_39	0	162	428
RG_39	-28	-11	0
Qk_39	0	151	400
A_39	317	324	335
E_39	-375	-362	-350
Ql_39	-55	-39	-25
Q_39	-36	115	372
G_02	-0	14	42
RG_02	-8	-3	-1
Qk_02	-2	10	36
A_02	353	362	374
E_02	-375	-364	-354
Ql_02	-11	-2	1
Q_02	-3	8	25

Tabelle 2: Univariate statistische Momente der optischen Eigenschaften des Fichtenbestands F1 im Solling für den Juni 1991.

Variable	Minimum	Mean	Maximum
al_39	0.067	0.075	0.109
al_02	0.149	0.183	0.236
t	0.065	0.087	0.111